

УДК 539.3

О НАПРЯЖЕННО-ДЕФОРМИРОВАННОМ СОСТОЯНИИ АНИЗОТРОПНОЙ ПОЛОСЫ С ПЕРЕМЕННЫМИ УПРУГИМИ ХАРАКТЕРИСТИКАМИ

Ագալոյան Լ.Ա., Տաակյան Ա.Վ., Տարկիսյան Ա.Գ.

Լ.Ա. Աղալովյան, Ա.Վ. Սահակյան, Ա.Հ. Տարգսյան  
Փոփոխական առածգական բնույթի ունեցող անիզոտրոպ շերտի լարվածա-  
ղեֆորմացիոն վիճակի մասին

Դիտարկված է փոփոխական առածգական գործակիցներ ունեցող անիզոտրոպ շերտի լարվածա-ղեֆորմացիոն վիճակի որոշման հարցը, երբ ճրագ երեսային մակերևույթների վրա տրված են լարման տեղգորի բաղադրիչները: Խնդիրը լուծված է ասիմպտոտիկ մեթոդով: Ստացված է միաշափի բերված փոփոխական գործակիցներով սովորական դիֆերենցիալ հավասարումների համակարգ: Որպես կիրառություն դիտարկված է սիլիկոնից պատրաստված օրթոտրոպ հեծանի լարվածա-ղեֆորմացիոն վիճակի որոշման խնդիրը տարբեր բեռնավորումների դեպքում: Ենթադրվում է, որ սիլիկոնի առածգական սինտրիայի գլխավոր ուղղությունները բեքված են կոորդինատական առանցքների նկատմամբ կանոնական ֆանկցիոնով: Որոշված են լարման և տեղափոխության դաշտերը, ստացված են գնահատականներ Բեռնոլիի վարկածի կիրառելիության վերաբերյալ: Կախված ֆանկցիոնի մեծությունից, կառուցված են տեղափոխման վեկտորի բաղադրիչների փոփոխությունները բնույթագրող կորեր:

L.A. Aghalovian, A.V. Sahakian, A.H. Sarkissian

On Determination of the Stress-Strain State of an Anisotropic Strip with Variable Elastic Characteristics

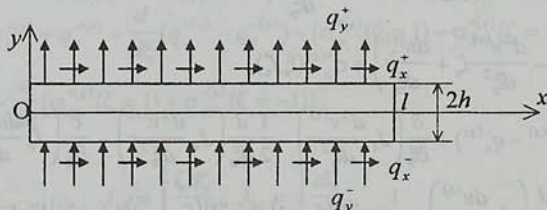
Выведены рекуррентные формулы для определения компонентов тензора напряжений и вектора перемещения анизотропной полосы с переменными коэффициентами упругости. Обсуждается возможность использования гипотезы плоских сечений Бервулли для расчета подобных балок-полос. Такие конструктивные элементы изготавливаются, в частности, искусственным выращиваемым кристаллов и используются в современной микротехнике.

1. Рассматривается вопрос определения напряженно-деформированного состояния анизотропной полосы с переменными коэффициентами упругости, занимающей область

$\Omega = \{x, y: x \in [0, l], -h \leq y \leq h, h \ll l\}$ , когда на лицевых поверхностях заданы компоненты тензора напряжений:

$$\sigma_{xy} = \pm \frac{l}{h} q_x^{\pm}(x), \quad \sigma_y = \pm q_y^{\pm}(x) \quad \text{при} \quad y = \pm h, \quad (1.1)$$

а на торцах  $x = 0, l$  - пока еще произвольные граничные условия теории упругости (фиг.1).



Փիգ.1.

Введем безразмерные координаты и компоненты вектора

перемещения. В результате, основные уравнения теории упругости для поставленной задачи принимают вид

$$\frac{\partial \sigma_x}{\partial \xi} + \varepsilon^{-1} \frac{\partial \sigma_{xy}}{\partial \zeta} = 0, \quad \frac{\partial \sigma_{xy}}{\partial \xi} + \varepsilon^{-1} \frac{\partial \sigma_y}{\partial \zeta} - \varepsilon^{-1} (\rho g h) = 0$$

$$\frac{\partial U}{\partial \xi} = a_{11} \sigma_x + a_{12} \sigma_y + a_{16} \sigma_{xy}, \quad \varepsilon^{-1} \frac{\partial V}{\partial \zeta} = a_{12} \sigma_x + a_{22} \sigma_y + a_{26} \sigma_{xy}, \quad (1.2)$$

$$\varepsilon^{-1} \frac{\partial U}{\partial \zeta} + \frac{\partial V}{\partial \xi} = a_{16} \sigma_x + a_{26} \sigma_y + a_{66} \sigma_{xy},$$

где  $\xi = \frac{x}{l}$ ,  $\zeta = \frac{y}{h}$ ,  $U = \frac{u}{l}$ ,  $V = \frac{v}{l}$ ,  $\varepsilon = \frac{h}{l}$ ,  $\rho = \rho(\xi, \zeta)$  — плотность,

$a_{ij} = a_{ij}(\xi, \zeta)$  — коэффициенты упругости,  $\sigma_{ij}$  — компоненты тензора напряжений,  $u, v$  — компоненты вектора перемещения.

Задачу решаем асимптотическим методом интегрирования. Решение системы (1.2), как системы, сингулярно возмущенной малым параметром  $\varepsilon$ , состоит из внутреннего решения и решения типа погранслоя [1-6]. Решение внутренней задачи представим в виде

$$\sigma_x = \varepsilon^{-2+s} \sigma_x^{(s)}, \quad \sigma_{xy} = \varepsilon^{-1+s} \sigma_{xy}^{(s)}, \quad \sigma_y = \varepsilon^s \sigma_y^{(s)}, \quad (1.3)$$

$$U = \varepsilon^{-2+s} U^{(s)}, \quad V = \varepsilon^{-3+s} V^{(s)}, \quad s = \overline{0, N}.$$

Подставляя (1.3) в уравнения (1.2) и приравнявая коэффициенты при одинаковых степенях  $\varepsilon$ , для компонентов напряжений и безразмерных перемещений получим следующую рекуррентную систему дифференциальных уравнений:

$$\frac{\partial \sigma_x^{(s)}}{\partial \xi} + \frac{\partial \sigma_{xy}^{(s)}}{\partial \zeta} = 0, \quad \frac{\partial \sigma_{xy}^{(s)}}{\partial \xi} + \frac{\partial \sigma_y^{(s)}}{\partial \zeta} - \rho^{(s)} g = 0,$$

$$\frac{\partial U^{(s)}}{\partial \xi} = a_{11} \sigma_x^{(s)} + a_{12} \sigma_y^{(s-2)} + a_{16} \sigma_{xy}^{(s-1)}, \quad (1.4)$$

$$\frac{\partial V^{(s)}}{\partial \zeta} = a_{12} \sigma_x^{(s-2)} + a_{22} \sigma_y^{(s-4)} + a_{26} \sigma_{xy}^{(s-3)},$$

$$\frac{\partial U^{(s)}}{\partial \zeta} + \frac{\partial V^{(s)}}{\partial \xi} = a_{16} \sigma_x^{(s-1)} + a_{26} \sigma_y^{(s-3)} + a_{66} \sigma_{xy}^{(s-2)},$$

где  $\rho^{(0)} = h\rho(\xi, \zeta)$ ,  $\rho^{(s)} = 0$ ,  $s \neq 0$ ,  $Q^{(s)} = 0$ ,  $s < 0$  ( $Q$  — любое из напряжений и безразмерных перемещений).

Интегрируя систему (1.4) по  $\zeta$  и удовлетворяя граничным условиям (1.1), получим

$$V^{(s)} = v^{(s)}(\xi) + v^{*(s)}(\xi, \zeta), \quad U^{(s)} = -\frac{dv^{(s)}}{d\xi} \zeta + u^{(s)}(\xi) + u^{*(s)}(\xi, \zeta),$$

$$\sigma_x^{(s)} = \frac{1}{a_{11}} \left( -\frac{d^2 v^{(s)}}{d\xi^2} \zeta + \frac{du^{(s)}}{d\xi} \right) + \sigma_x^{*(s)}(\xi, \zeta),$$

$$\sigma_{xy}^{(s)} = \frac{1}{2} (q_x^{+(s)} - q_x^{-(s)}) + \frac{\partial}{\partial \xi} \left( J_1 \frac{d^2 v^{(s)}}{d\xi^2} \right) - \frac{1}{2} \frac{d}{d\xi} \left( J_4 \frac{d^2 v^{(s)}}{d\xi^2} \right) - \frac{\partial}{\partial \xi} \left( J_0 \frac{du^{(s)}}{d\xi} \right) +$$

$$+ \frac{1}{2} \frac{d}{d\xi} \left( J_5 \frac{du^{(s)}}{d\xi} \right) - \frac{1}{2} [\sigma_{xy}^{*(s)}(\zeta = 1) + \sigma_{xy}^{*(s)}(\zeta = -1)] + \sigma_{xy}^{*(s)}(\xi, \zeta), \quad (1.5)$$

$$\begin{aligned} \sigma_y^{(s)} = & \frac{1}{2}(q_y^{+(s)} - q_y^{-(s)}) - \frac{1}{2}\zeta \frac{d}{d\xi}(q_x^{+(s)} - q_x^{-(s)}) - \frac{\partial^2}{\partial \xi^2} \left( J_2 \frac{d^2 v^{(s)}}{d\xi^2} \right) + \\ & + \frac{1}{2} \frac{\partial^2}{\partial \xi^2} \left[ (J_6 - \zeta J_4) \frac{d^2 v^{(s)}}{d\xi^2} \right] + \frac{\partial^2}{\partial \xi^2} \left( J_3 \frac{du^{(s)}}{d\xi} \right) - \frac{1}{2} \frac{\partial^2}{\partial \xi^2} \left[ (J_7 - \zeta J_5) \frac{du^{(s)}}{d\xi} \right] - \\ & - \frac{1}{2} [\sigma_y^{+(s)}(\zeta=1) + \sigma_y^{-(s)}(\zeta=-1)] - \frac{1}{2} \zeta \frac{d}{d\xi} [\sigma_{xy}^{+(s)}(\zeta=1) + \sigma_{xy}^{-(s)}(\zeta=-1)] + \sigma_y^{+(s)}(\xi, \zeta) \end{aligned}$$

где

$$\begin{aligned} v^{+(s)} &= \int_0^{\zeta} (a_{12} \sigma_x^{(s-2)} + a_{22} \sigma_y^{(s-4)} + a_{26} \sigma_{xy}^{(s-3)}) d\zeta, \\ u^{+(s)} &= \int_0^{\zeta} \left( a_{16} \sigma_x^{(s-1)} + a_{26} \sigma_y^{(s-3)} + a_{66} \sigma_{xy}^{(s-2)} - \frac{\partial v^{+(s)}}{\partial \xi} \right) d\zeta, \\ \sigma_x^{+(s)} &= \frac{1}{a_{11}} \left( -a_{12} \sigma_y^{(s-2)} - a_{16} \sigma_{xy}^{(s-1)} + \frac{\partial u^{+(s)}}{\partial \xi} \right), \end{aligned} \quad (1.6)$$

$$\begin{aligned} \sigma_{xy}^{+(s)} &= -\frac{\partial}{\partial \xi} \left( \int_0^{\zeta} \sigma_x^{+(s)} d\zeta \right), \quad \sigma_y^{+(s)} = -\frac{\partial}{\partial \xi} \left( \int_0^{\zeta} \sigma_{xy}^{+(s)} d\zeta \right) + g \int_0^{\zeta} \rho^{(s)} d\zeta, \\ J_0 &= \int_0^{\zeta} \frac{d\zeta}{a_{11}}, \quad J_1 = \int_0^{\zeta} \frac{\zeta d\zeta}{a_{11}}, \quad J_2 = \int_0^{\zeta} d\zeta \int_0^{\zeta} \frac{\zeta d\zeta}{a_{11}}, \quad J_3 = \int_0^{\zeta} d\zeta \int_0^{\zeta} \frac{d\zeta}{a_{11}}, \\ J_4 &= \int_0^1 \frac{\zeta d\zeta}{a_{11}} - \int_{-1}^0 \frac{\zeta d\zeta}{a_{11}}, \quad J_5 = \int_0^1 \frac{d\zeta}{a_{11}} - \int_{-1}^0 \frac{d\zeta}{a_{11}}, \\ J_6 &= \int_0^1 d\zeta \int_0^{\zeta} \frac{\zeta d\zeta}{a_{11}} - \int_{-1}^0 d\zeta \int_0^{\zeta} \frac{\zeta d\zeta}{a_{11}}, \quad J_7 = \int_0^1 d\zeta \int_0^{\zeta} \frac{d\zeta}{a_{11}} - \int_{-1}^0 d\zeta \int_0^{\zeta} \frac{d\zeta}{a_{11}}, \end{aligned} \quad (1.7)$$

$$q_x^{\pm(0)} = q_x^{\pm}, \quad q_y^{\pm(0)} = q_y^{\pm}, \quad q_x^{\pm(s)} = q_y^{\pm(s)} = 0, \quad s \neq 0.$$

Как видно из формул (1.5), все величины выражаются через функции  $u^{(s)}(\xi)$  и  $v^{(s)}(\xi)$ . Используя условия (1.1), для определения функций  $u^{(s)}$  и  $v^{(s)}$  получим следующую систему уравнений:

$$\begin{aligned} \frac{d}{d\xi} \left( J_{11} \frac{d^2 v^{(s)}}{d\xi^2} \right) - \frac{d}{d\xi} \left( J_{01} \frac{du^{(s)}}{d\xi} \right) &= F_x^{(s)}, \\ \frac{d^2}{d\xi^2} \left( a_1 \frac{d^2 v^{(s)}}{d\xi^2} \right) + \frac{d^2}{d\xi^2} \left( a_2 \frac{du^{(s)}}{d\xi} \right) &= F_y^{(s)}, \end{aligned} \quad (1.8)$$

$$F_x^{(s)} = q_x^{+(s)} + q_x^{-(s)} - [\sigma_{xy}^{+(s)}(\zeta=1) - \sigma_{xy}^{-(s)}(\zeta=-1)],$$

$$\begin{aligned} F_y^{(s)} = & q_y^{+(s)} + q_y^{-(s)} + \frac{d}{d\xi}(q_x^{+(s)} - q_x^{-(s)}) - [\sigma_y^{+(s)}(\zeta=1) - \sigma_y^{-(s)}(\zeta=-1)] - \\ & - \frac{d}{d\xi} [\sigma_{xy}^{+(s)}(\zeta=1) + \sigma_{xy}^{-(s)}(\zeta=-1)], \end{aligned}$$

где

$$J_{11} = \int_{-1}^1 \frac{\zeta d\zeta}{a_{11}}, \quad J_{01} = \int_{-1}^1 \frac{d\zeta}{a_{11}},$$

$$a_1 = \int_0^1 \frac{\zeta d\zeta}{a_{11}} - \int_{-1}^0 \frac{\zeta d\zeta}{a_{11}} - \int_{-1}^1 d\zeta \int_0^{\zeta} \frac{\zeta d\zeta}{a_{11}}, \quad a_2 = \int_{-1}^1 d\zeta \int_0^{\zeta} \frac{d\zeta}{a_{11}} - \int_0^1 \frac{d\zeta}{a_{11}} + \int_{-1}^0 \frac{d\zeta}{a_{11}}. \quad (1.9)$$

Определив из системы (1.8) функции  $u^{(s)}$  и  $v^{(s)}$ , по формулам (1.3), (1.5)–(1.7) с предварительно заданной точностью найдем компоненты тензора напряжений и вектора перемещения.

Из полученного решения следует, что гипотезе плоских сечений Бернулли (классической теории балок) соответствует приближение  $s = 0$ . Следовательно, для определения области применимости классической теории необходимо оценить величины, соответствующие приближению  $s=1$ . Заметим, что в случае ортотропной полосы гипотезе Бернулли соответствуют приближения  $s = 0, 1$ , и только начиная с приближения  $s=2$ , вносятся поправки к решению.

Из уравнений (1.8), (1.9) следует, что даже в случае принятия гипотезы плоских сечений Бернулли главная роль принадлежит коэффициенту  $a_{11}$ . Необходимо правильно определить этот коэффициент, так как в зависимости от его выбора возможны довольно большие погрешности. Аналитически невозможно точно определить  $a_{11}$ . Его можно определить обычным путем, например, из опыта растяжения-сжатия, так как  $a_{11} = 1/E_{11}$ , где  $E_{11}$  – модуль Юнга для растяжения-сжатия вдоль оси  $Ox$ .

Исследуем систему (1.8) с целью установить, в каких случаях она разбивается на два отдельных уравнения.

1) Рассмотрим случай, когда  $a_{ij} = \text{const}$ . В этом случае из (1.9) получится

$$J_{11} = 0, \quad J_{01} = \frac{2}{a_{11}}, \quad a_1 = \frac{2}{3} \frac{1}{a_{11}}, \quad a_2 = 0,$$

и (1.8) примет вид

$$-2 \frac{1}{a_{11}} \frac{d^2 u^{(s)}}{d\xi^2} = F_x^{(s)}, \quad \frac{2}{3} \frac{1}{a_{11}} \frac{d^4 v^{(s)}}{d\xi^4} = F_y^{(s)}. \quad (1.10)$$

Таким образом, система (1.8) в этом случае разбивается на два уравнения, первое из которых – уравнение растяжения-сжатия стержней [7], а второе – уравнение изгиба балок [8].

2) Пусть  $a_{11}$  – четная функция относительно координаты  $\zeta$ :  $a_{11}(\xi, -\zeta) = a_{11}(\xi, \zeta)$ . В этом случае

$$J_{11} = 0, \quad J_{01} = 2 \int_0^1 \frac{d\zeta}{a_{11}}, \quad a_1 = 2 \int_0^1 \frac{\zeta d\zeta}{a_{11}} - 2 \int_0^1 d\zeta \int_0^{\zeta} \frac{\zeta d\zeta}{a_{11}}, \quad a_2 = 0,$$

и система (1.8) примет вид

$$-\frac{d}{d\xi} \left( J_{01} \frac{du^{(s)}}{d\xi} \right) = F_x^{(s)}, \quad \frac{d^2}{d\xi^2} \left( a_1 \frac{d^2 v^{(s)}}{d\xi^2} \right) = F_y^{(s)}. \quad (1.11)$$

3) Пусть  $a_{11}(\xi, \zeta) = a_{11\xi}(\xi) a_{11\zeta}(\zeta)$ . В этом случае

$$J_{11} = \frac{1}{a_{11\xi}} J_{11\xi}, \quad J_{01} = \frac{1}{a_{11\xi}} J_{01\xi}, \quad a_1 = \frac{1}{a_{11\xi}} a_{1\xi}, \quad a_2 = \frac{1}{a_{11\xi}} a_{2\xi},$$

где

$$J_{11\xi} = \int_{-1}^1 \frac{\zeta d\zeta}{a_{11\xi}}, \quad J_{01\xi} = \int_{-1}^1 \frac{d\zeta}{a_{11\xi}}, \quad a_{1\xi} = \int_0^1 \frac{\zeta d\zeta}{a_{11\xi}} - \int_{-1}^0 \frac{\zeta d\zeta}{a_{11\xi}} - \int_{-1}^1 d\zeta \int_0^{\zeta} \frac{\zeta d\zeta}{a_{11\xi}},$$

$$a_{2\zeta} = \int_{-1}^1 d\zeta \int_0^{\zeta} \frac{d\zeta}{a_{11\zeta}} - \int_0^1 \frac{d\zeta}{a_{11\zeta}} + \int_{-1}^0 \frac{d\zeta}{a_{11\zeta}}$$

Система (1.8) принимает вид

$$J_{11\zeta} \frac{d}{d\xi} \left( \frac{1}{a_{11\zeta}} \frac{d^2 v^{(s)}}{d\xi^2} \right) - J_{01\zeta} \frac{d}{d\xi} \left( \frac{1}{a_{11\zeta}} \frac{du^{(s)}}{d\xi} \right) = F_x^{(s)}, \quad (1.12)$$

$$a_{1\zeta} \frac{d^2}{d\xi^2} \left( \frac{1}{a_{11\zeta}} \frac{d^2 v^{(s)}}{d\xi^2} \right) + a_{2\zeta} \frac{d^2}{d\xi^2} \left( \frac{1}{a_{11\zeta}} \frac{du^{(s)}}{d\xi} \right) = F_y^{(s)}$$

4) Пусть  $a_{11} = a_{11}(\xi)$ . Тогда имеем

$$J_{11} = 0, \quad J_{01} = \frac{2}{a_{11}(\xi)}, \quad a_1 = \frac{2}{3} \frac{1}{a_{11}(\xi)}, \quad a_2 = 0$$

и (1.8) принимает вид

$$-2 \frac{d}{d\xi} \left( \frac{1}{a_{11}(\xi)} \frac{du^{(s)}}{d\xi} \right) = F_x^{(s)}, \quad \frac{2}{3} \frac{d^2}{d\xi^2} \left( \frac{1}{a_{11}(\xi)} \frac{d^2 v^{(s)}}{d\xi^2} \right) = F_y^{(s)}. \quad (1.13)$$

Таким образом, если коэффициент  $a_{11}$  не зависит от координаты  $\zeta$  или относительно нее является четной функцией, то система (1.8) разбивается на два отдельных уравнения - растяжения-сжатия стержней и изгиба балок. Для приближения  $s=0$ , т.е. в пределах гипотезы плоских сечений, эти уравнения независимы. Начиная с  $s=1$ , уравнения системы (1.8) следует решать совместно, так как  $F_x^{(1)}$  содержит слагаемые, обусловленные изгибом балок, а  $F_y^{(1)}$  - члены, обусловленные растяжением-сжатием, которые являются известными величинами, определенными из предыдущего приближения.

2. В качестве приложения полученных общих результатов исследуем напряженно-деформированное состояние силиконовой балки при различных видах ее нагружения. Предположим, что главные направления упругой симметрии ортотропного силикона не совпадают с координатными осями и составляют с ними угол  $\varphi$ . Как известно, в этом случае такой материал проявляет все признаки анизотропии, т.е. в основных уравнениях фигурируют все коэффициенты упругости, характеризующие общую анизотропию.

Если через  $a_{ij}^0$  обозначить упругие постоянные силикона, соответствующие случаю совпадения главных направлений упругой симметрии с координатными осями [9]:

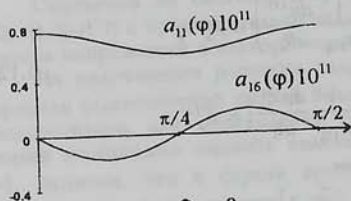
$$[a_{ij}^0] = \begin{bmatrix} a_{11}^0 & a_{12}^0 & a_{12}^0 & 0 & 0 & 0 \\ a_{12}^0 & a_{11}^0 & a_{12}^0 & 0 & 0 & 0 \\ a_{12}^0 & a_{12}^0 & a_{11}^0 & 0 & 0 & 0 \\ 0 & 0 & 0 & a_{44}^0 & 0 & 0 \\ 0 & 0 & 0 & 0 & a_{44}^0 & 0 \\ 0 & 0 & 0 & 0 & 0 & a_{44}^0 \end{bmatrix} \quad \begin{aligned} a_{11}^0 &= 0.76857 \cdot 10^{11} \text{ Па}^{-1} \\ a_{12}^0 &= -0.21375 \cdot 10^{11} \text{ Па}^{-1} \\ a_{44}^0 &= 1.25786 \cdot 10^{11} \text{ Па}^{-1} \end{aligned} \quad (2.1)$$

то в общем случае зависимости коэффициентов упругости силикона от угла  $\varphi$  будут иметь следующий вид [10, 11]:

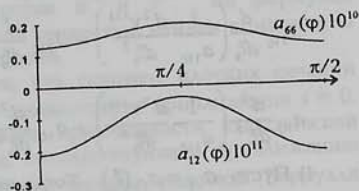
$$\begin{aligned} a_{11}(\varphi) &= a_{22}(\varphi) = a_{11}^0 + \frac{1}{4}(1 - \cos 4\varphi)b_1, & a_{12}(\varphi) &= a_{12}^0 - \frac{1}{4}(1 - \cos 4\varphi)b_1, \\ a_{16}(\varphi) &= -a_{26}(\varphi) = \frac{1}{2}b_1 \sin 4\varphi, & a_{66}(\varphi) &= (1 + \cos 4\varphi)b_1 + 2b_2, \end{aligned} \quad (2.2)$$

$$b_1 = -a_{11}^0 + a_{12}^0 + \frac{1}{2}a_{44}^0, \quad b_2 = a_{11}^0 - a_{12}^0,$$

графики которых приведены на фиг.2-3.



Фиг. 2



Фиг. 3

При  $\varphi = \text{const}$  в системе (1.8) отделяются уравнение растяжения-сжатия и уравнение изгиба:

$$-2 \frac{1}{a_{11}(\varphi)} \frac{d^2 u^{(s)}}{d\xi^2} = F_x^{(s)}, \quad \frac{2}{3} \frac{1}{a_{11}(\varphi)} \frac{d^4 v^{(s)}}{d\xi^4} = F_y^{(s)} \quad (2.3)$$

интегрируя которые, получим

$$u^{(s)}(\xi) = -\frac{1}{2} a_{11}(\varphi) \int_0^\xi d\xi \int_0^\xi F_x^{(s)} d\xi + C_5^{(s)} \xi + C_6^{(s)}, \quad (2.4)$$

$$v^{(s)}(\xi) = \frac{3}{2} a_{11}(\varphi) \int_0^\xi d\xi \int_0^\xi d\xi \int_0^\xi F_y^{(s)} d\xi + C_1^{(s)} \xi^3 + C_2^{(s)} \xi^2 + C_3^{(s)} \xi + C_4^{(s)},$$

и, согласно формулам (1.5), для компонентов напряжений и перемещений приближения  $\varepsilon$  получим следующие выражения:

$$V^{(s)} = \frac{3}{2} a_{11}(\varphi) \int_0^\xi d\xi \int_0^\xi d\xi \int_0^\xi F_y^{(s)} d\xi + C_1^{(s)} \xi^3 + C_2^{(s)} \xi^2 + C_3^{(s)} \xi + C_4^{(s)} + v^{*(s)}$$

$$U^{(s)} = -\frac{1}{2} a_{11}(\varphi) \left[ 3\zeta \int_0^\xi d\xi \int_0^\xi F_y^{(s)} d\xi + \int_0^\xi d\xi \int_0^\xi F_x^{(s)} d\xi \right] -$$

$$-3C_1^{(s)} \xi^2 \zeta - 2C_2^{(s)} \xi \zeta - C_3^{(s)} \zeta + C_5^{(s)} \xi + C_6^{(s)} + u^{*(s)}$$

$$\sigma_x^{(s)} = -\frac{1}{2} \left[ 3\zeta \int_0^\xi d\xi \int_0^\xi F_y^{(s)} d\xi + \int_0^\xi d\xi \int_0^\xi F_x^{(s)} d\xi \right] +$$

$$+ \frac{1}{a_{11}(\varphi)} [C_5^{(s)} - 2\zeta(3C_1^{(s)} \xi + C_2^{(s)})] + \sigma_x^{*(s)}$$

$$\sigma_{xy}^{(s)} = \frac{1}{2} (q_x^{+(s)} - q_x^{-(s)}) + \frac{3}{4} (\zeta^2 - 1) \int_0^\xi F_y^{(s)} d\xi + \frac{1}{2} \zeta F_x^{(s)} +$$

$$+ \frac{1}{a_{11}(\varphi)} 3(\zeta^2 - 1) C_1^{(s)} - \frac{1}{2} [\sigma_{xy}^{*(s)}(\zeta = 1) + \sigma_{xy}^{*(s)}(\zeta = -1)] + \sigma_{xy}^{*(s)} \quad (2.5)$$

$$\sigma_y^{(s)} = \frac{1}{2} (q_y^{+(s)} - q_y^{-(s)}) - \frac{1}{2} \zeta \frac{d}{d\xi} (q_x^{+(s)} - q_x^{-(s)}) - \frac{1}{4} \zeta (\zeta^2 - 3) F_y^{(s)} -$$

$$- \frac{1}{4} (\zeta^2 - 1) \frac{dF_x^{(s)}}{d\xi} - \frac{1}{2} [\sigma_y^{*(s)}(\zeta = 1) + \sigma_y^{*(s)}(\zeta = -1)] +$$

$$+ \frac{1}{2} \zeta \frac{d}{d\xi} [\sigma_{xy}^{*(s)}(\zeta = 1) + \sigma_{xy}^{*(s)}(\zeta = -1)] + \sigma_y^{*(s)}$$

где

$$\begin{aligned} v^{*(s)} &= \int_0^{\zeta} [a_{12}(\varphi) \sigma_x^{(s-2)} + a_{11}(\varphi) \sigma_y^{(s-4)} - a_{16}(\varphi) \sigma_{xy}^{(s-3)}] d\zeta \\ u^{*(s)} &= \int_0^{\zeta} \left[ a_{16}(\varphi) (\sigma_x^{(s-1)} - \sigma_y^{(s-3)}) + a_{66}(\varphi) \sigma_{xy}^{(s-2)} - \frac{\partial v^{*(s)}}{\partial \xi} \right] d\zeta \\ \sigma_x^{*(s)} &= \frac{1}{a_{11}(\varphi)} \left[ -a_{12}(\varphi) \sigma_y^{(s-2)} - a_{16}(\varphi) \sigma_{xy}^{(s-1)} + \frac{\partial u^{*(s)}}{\partial \xi} \right] \\ \sigma_{xy}^{*(s)} &= -\frac{\partial}{\partial \xi} \left( \int_0^{\zeta} \sigma_x^{*(s)} d\zeta \right), \quad \sigma_y^{*(s)} = -\frac{\partial}{\partial \xi} \left( \int_0^{\zeta} \sigma_{xy}^{*(s)} d\zeta \right) \end{aligned} \quad (2.6)$$

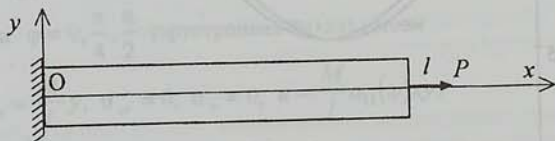
Величины  $F_x^{(s)}$  и  $F_y^{(s)}$  определяются по формулам (1.8).

В полученных выражениях  $C_i^{(s)}$  - произвольные постоянные, которые определяются из условий в сечениях  $\xi = 0$  и  $\xi = 1$ . Имея только решение внутренней задачи, этим условиям можно удовлетворить лишь в интегральной форме. Для получения более точных результатов вблизи торцов следует построить также решения погранслоя. Пограничный слой можно исследовать описанным в работах [1,3,5] путем.

В общем случае гипотезе Бернулли соответствует приближение  $s=0$ . При  $\varphi = 0, \pi/4, \pi/2$  имеем случай ортотропного материала ( $a_{16} = a_{26} = 0$ ) и гипотезе Бернулли соответствуют приближения  $s = 0, 1$ , т.е. гипотеза Бернулли в этом случае имеет большую точность.

3. Рассмотрим некоторые частные задачи, преследуя цель выявить влияние изменения угла поворота главных направлений упругой симметрии силикона относительно координатных осей на напряженно-деформированное состояние балки.

а) Пусть силиконовая балка заделана одним концом и растягивается силой  $P$  (фиг.4).



Фиг. 4

Пользуясь выражениями (2.5), (2.6), найдем коэффициенты представления (1.3). Замечая, что приближения  $s = 0, 1, 2$  уже дают точное решение, для компонентов тензора напряжений и вектора перемещения получим

$$\begin{aligned} \sigma_x &= \frac{P}{2h}, \quad \sigma_{xy} = 0, \quad \sigma_y = 0 \\ u &= \frac{P}{2h} a_{11}(\varphi) x + \frac{P}{4h} a_{16}(\varphi) y, \quad v = \frac{P}{4h} a_{16}(\varphi) x + \frac{P}{2h} a_{12}(\varphi) y \end{aligned} \quad (3.1)$$

В случае, когда  $\varphi = 0, \frac{\pi}{4}, \frac{\pi}{2}$ , получается

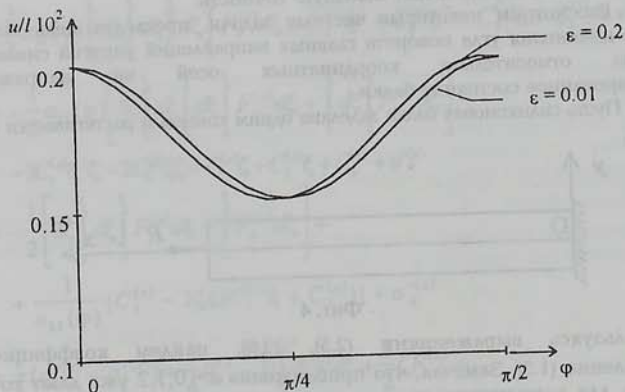
$$\sigma_x = \frac{P}{2h}, \sigma_{xy} = 0, \sigma_y = 0, u = \frac{P}{2h} a_{11}(\varphi)x, v = \frac{P}{2h} a_{12}(\varphi)y \quad (3.2)$$

При применении гипотезы Бернулли имеем

$$\sigma_x = \frac{P}{2h}, \sigma_{xy} = 0, \sigma_y = 0, u = \frac{P}{2h} a_{11}(\varphi)x, v = 0, \quad (3.3)$$

что соответствует слагаемым приближения  $s=0$  в (3.1) и приближений  $s=0,1$  в (3.2).

Влияние изменения угла наклона главных направлений упругой симметрии силикона относительно координатных осей на напряженно-деформированное состояние балки проследим по изменению горизонтального и вертикального перемещений некоторых точек сечения  $x=l$  в зависимости от угла  $\varphi$  (на основании результатов (3.1)). В этой задаче горизонтальные перемещения точки  $x=l, y=0$ , вычисленные по гипотезе Бернулли и без нее, совпадают. В других точках того же сечения, согласно (3.1), они различаются вследствие влияния коэффициента  $a_{16}$ , т.е. в отличие от решения по гипотезе Бернулли, сечение не остается перпендикулярным оси. Вычисления показывают, что независимо от отношения  $h/l$ , горизонтальное перемещение точки  $x=l, y=0$  балки принимает наибольшее значение при  $\varphi=0, \pi/2$ , а наименьшее - при  $\varphi=\pi/4$ , и разница между этими значениями составляет примерно 30%. Для других точек сечения  $x=l$  некоторое влияние на эти значения оказывает и изменение значения  $\varepsilon=h/l$ . Например, разница между максимальным и минимальным значениями горизонтального перемещения точки  $x=l, y=h$  балки при изменении значения  $\varepsilon$  от 0.01 до 0.2 увеличивается на 1% (фиг.5).



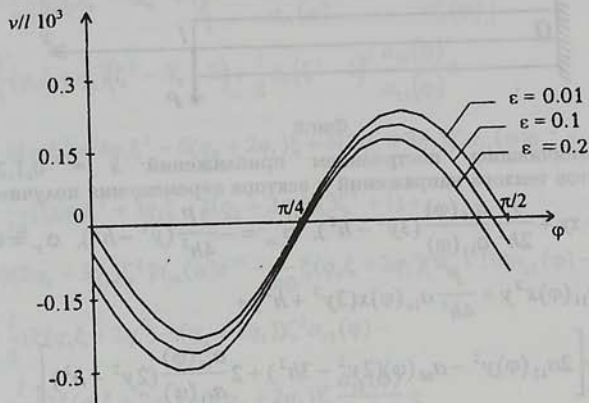
Фиг. 5

На фиг.5 представлены безразмерные горизонтальные перемещения  $U = u/l$  точки  $(l, h)$ , вычисленные по формуле (3.1) для случаев  $\varepsilon=0.01$  и  $\varepsilon=0.2$ , где для удобства вычислений взято  $Pa_{11}^0/(2h) = 0.2 \cdot 10^{-2}$ .

Что касается вертикального перемещения, то, в то время, как при применении гипотезы Бернулли оно отсутствует, здесь в зависимости от угла  $\varphi$  оно может принимать отрицательные и положительные значения

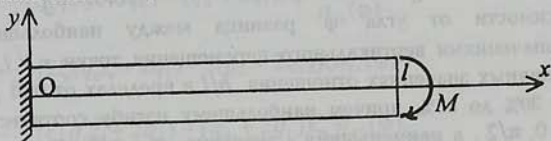


(фиг.6), что обусловлено соотношением коэффициентов  $a_{12}$  и  $a_{16}$ .



Фиг.6

б) Пусть балка одним концом заделана, а на другом конце загружена изгибающим моментом  $M$  (фиг.7).



Фиг.7

Для компонентов тензора напряжений и вектора перемещения получается

$$\sigma_x = \frac{M}{I}, \quad \sigma_{xy} = 0, \quad \sigma_y = 0, \quad u = \frac{M}{I} \left[ a_{11}(\varphi)xy + \frac{a_{16}(\varphi)}{2}y^2 \right] \quad (3.4)$$

$$v = \frac{M}{2I} [a_{12}(\varphi)y^2 - a_{11}(\varphi)x^2] \quad (I = \frac{2}{3}h^3)$$

При  $\varphi = 0, \frac{\pi}{4}, \frac{\pi}{2}$  (ортотропная балка) имеем

$$\sigma_x = \frac{M}{I}y, \quad \sigma_{xy} = 0, \quad \sigma_y = 0, \quad u = \frac{M}{I}a_{11}(\varphi)xy,$$

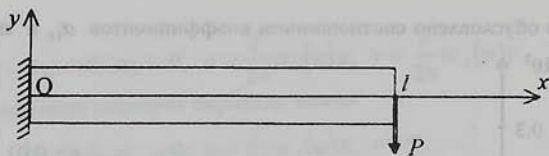
$$v = \frac{M}{2I} [a_{12}(\varphi)y^2 - a_{11}(\varphi)x^2] \quad (3.5)$$

По гипотезе Бернулли получается

$$\sigma_x = \frac{M}{I}y, \quad \sigma_{xy} = 0, \quad \sigma_y = 0, \quad u = \frac{M}{I}a_{11}(\varphi)xy, \quad v = -\frac{M}{2I}a_{11}(\varphi)x^2. \quad (3.6)$$

Наблюдая за точкой  $x=l, y=0$  по (3.4), замечаем, что горизонтальное перемещение отсутствует, а закон изменения вертикального перемещения при  $Mla_{11}^0/(2I) = 0.002$  совпадает с законом изменения горизонтального перемещения со знаком "минус" той же точки в предыдущей задаче. Наблюдая за другими точками сечения  $x=l$  балки, приходим к выводу, что сечение не остается плоским.

в) Пусть консольная балка изгибается под действием силы, изображенной на фиг.8.



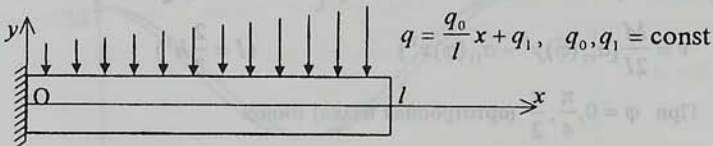
Фиг.8

Ограничившись построением приближений  $s = 0,1,2$ , для компонентов тензора напряжений и вектора перемещения получим

$$\begin{aligned} \sigma_x &= \frac{3P}{2h^3}xy + \frac{P}{2h^3} \frac{a_{16}(\varphi)}{a_{11}(\varphi)}(3y^2 - h^2), \quad \sigma_{xy} = -\frac{3P}{4h^3}(y^2 - h^2), \quad \sigma_y = 0, \\ u &= \frac{3P}{4h^3} a_{11}(\varphi)x^2y + \frac{P}{4h^3} a_{16}(\varphi)x(3y^2 + h^2) + \\ &+ \frac{P}{8h^3} y \left[ 2a_{12}(\varphi)y^2 - a_{66}(\varphi)(2y^2 - 3h^2) + 2 \frac{a_{16}^2(\varphi)}{a_{11}(\varphi)}(2y^2 - h^2) \right], \\ v &= -\frac{P}{4h^3} a_{11}(\varphi)x^3 + \frac{P}{8h^3} x \left[ 6a_{12}(\varphi)y^2 + \left( 3a_{66}(\varphi) - 2 \frac{a_{16}^2(\varphi)}{a_{11}(\varphi)} \right) h^2 \right]. \end{aligned} \quad (3.7)$$

В зависимости от угла  $\varphi$  разница между наибольшим и наименьшим значениями вертикального перемещения точки  $x=l, y=0$  балки при различных значениях отношения  $h/l$  в пределах от 0.01 до 0.2 колеблется от 30% до 45%, причем наибольшему изгибу соответствуют значения  $\varphi = 0, \pi/2$ , а наименьшему - значение  $\varphi = \pi/4$ . Вычисления также показывают, что при  $\varepsilon < 0.2$  различие значений вертикального перемещения рассматриваемой точки, вычисленных по гипотезе Бернулли и без нее, не превышает 20%.

г) Пусть консольная балка изгибается под действием линейно изменяющейся нагрузки (фиг.9).



Фиг.9

Ограничившись построением приближений  $s=0,1,2$ , для напряжений и перемещений будем иметь

$$\begin{aligned} \sigma_x &= \frac{1}{4} [q_0 \xi^3 + 3q_1 \xi^2 - 3(q_0 + 2q_1)\xi + 2q_0 + 3q_1] \zeta \varepsilon^{-2} + \frac{1}{4} (q_0 \xi^2 + 2q_1 \xi - q_0 - 2q_1) \times \\ &\times (\zeta^2 - 1) \frac{a_{16}(\varphi)}{a_{11}(\varphi)} \varepsilon^{-1} - \frac{1}{20} (q_0 \xi + q_1) \zeta (\zeta^2 - 3) \left[ \frac{2a_{12}(\varphi) + a_{66}(\varphi)}{a_{11}(\varphi)} - 4 \frac{a_{16}^2(\varphi)}{a_{11}^2(\varphi)} \right], \\ \sigma_{xy} &= -\frac{3}{8} (q_0 \xi^2 + 2q_1 \xi - q_0 - 2q_1) (\zeta^2 - 1) \varepsilon^{-1} - \\ &- \frac{1}{2} (q_0 \xi + q_1) \zeta (\zeta^2 - 1) \frac{a_{16}(\varphi)}{a_{11}(\varphi)} + \end{aligned}$$

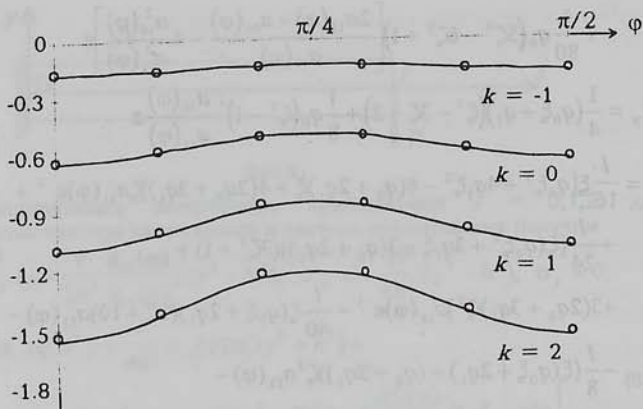
$$\begin{aligned}
& + \frac{1}{80} q_0 (5\zeta^4 - 6\zeta^2 + 1) \left[ \frac{2a_{12}(\varphi) + a_{66}(\varphi)}{a_{11}(\varphi)} - 4 \frac{a_{16}^2(\varphi)}{a_{11}^2(\varphi)} \right] \varepsilon \\
\sigma_y = & \frac{1}{4} (q_0 \xi + q_1) (\zeta^3 - 3\zeta - 2) + \frac{1}{8} q_0 (\zeta^2 - 1)^2 \frac{a_{16}(\varphi)}{a_{11}(\varphi)} \varepsilon \\
u = & \frac{l}{16} \xi [q_0 \xi^3 + 4q_1 \xi^2 - 6(q_0 + 2q_1)\xi + 4(2q_0 + 3q_1)\zeta] a_{11}(\varphi) \varepsilon^{-2} + \\
& + \frac{l}{24} [\xi(q_0 \xi^2 + 3q_1 \xi - 3(q_0 + 2q_1)) (3\zeta^2 + 1) + \\
& + 3(2q_0 + 3q_1)\zeta^2] a_{16}(\varphi) \varepsilon^{-1} - \frac{l}{40} \xi(q_0 \xi + 2q_1) (9\zeta + 10) a_{12}(\varphi) - \\
& - \frac{l}{8} (\xi(q_0 \xi + 2q_1) - (q_0 + 2q_1)) \zeta^3 a_{12}(\varphi) - \\
& - \frac{l}{40} [2\xi(q_0 \xi + 2q_1) - 5(q_0 + 2q_1)] \zeta \frac{a_{16}^2(\varphi)}{a_{11}(\varphi)} + \\
& + \frac{l}{4} (\xi(q_0 \xi + 2q_1) - (q_0 + 2q_1)) \zeta^3 \frac{a_{16}^2(\varphi)}{a_{11}(\varphi)} + \\
& + \frac{3l}{80} [2\xi(q_0 \xi + 2q_1) - 5(q_0 + 2q_1)] \zeta a_{66}(\varphi) - \\
& - \frac{l}{8} (\xi(q_0 \xi + 2q_1) - (q_0 + 2q_1)) \zeta^3 a_{66}(\varphi), \tag{3.8} \\
v = & - \frac{l}{80} \xi^2 [q_0 \xi^3 + 5q_1 \xi^2 - 10(q_0 + 2q_1)\xi + 10(2q_0 + 3q_1)] a_{11}(\varphi) \varepsilon^{-3} + \\
& + \left\{ [3\xi^2(q_0 \xi + 3q_1) + 5[q_0 \xi^3 + 3q_1 \xi^2 - 3(q_0 + 2q_1)\xi + 2q_0 + 3q_1]] \frac{l}{40} \zeta^2 a_{12}(\varphi) - \right. \\
& \left. - \frac{l}{240} \xi [8\xi(q_0 \xi + 3q_1) - 15(q_0 + 2q_1)] \left[ 2 \frac{a_{16}^2(\varphi)}{a_{11}(\varphi)} - 3a_{66}(\varphi) \right] \right\} \varepsilon^{-1}
\end{aligned}$$

Зависимость от угла  $\varphi$  вертикального перемещения ( $v/l \cdot 10^2$ ) точки  $x=l, y=0$  балки изображена на фиг.10, где взято

$$q_1 a_{11}^0 = 0.33 \cdot 10^{-4}, \quad k = q_0/q_1, \quad \varepsilon = 0.1.$$

В этой задаче при  $\varepsilon < 0.2$  различие значений вертикального перемещения точки  $(l, 0)$ , вычисленных по гипотезе Бернулли и без нее, не превышает 8%.

Наблюдение за различными точками одного и того же сечения приводит к выводу, что в первой из рассмотренных задач сечение, оставаясь плоским, поворачивается (т.е. не остается перпендикулярным оси), а в остальных - оно не остается плоским. Вследствие этого использование гипотезы плоских сечений в зависимости от области применения может привести к серьезным качественным ошибкам даже в случае небольшого количественного различия решений, полученных по гипотезе Бернулли и без нее.



Фиг. 10. Через о обозначены соответствующие значения, вычисленные по гипотезе Бернулли

Как показывают вычисления, при допущении применения гипотезы Бернулли очень важно правильно определить коэффициент  $a_{11}$ . В зависимости от точности его определения погрешность может достигнуть 30%.

4. Из выполненных вычислений можно сделать следующие заключения:

а) для получения точных результатов очень важен правильный выбор коэффициента  $a_{11}(\phi)$ , так как в зависимости от угла  $\phi$  различие значений искомых величин может достигнуть 30%;

б) если силиконовая балка нагружена только по торцам, то о ее напряженно-деформированном состоянии достаточно близкое к реальному представление можно получить из решения аналогичной задачи для изотропной балки с модулем Юнга  $E_* = \frac{1}{a_{11}(\phi)}$ ;

в) удовлетворение лишь решением, соответствующим гипотезе Бернулли, влечет к качественным ошибкам, которые могут играть определяющую роль в измерительных и других точных приборах. В подобных случаях необходимо воспользоваться полученными асимптотическими решениями, в частности, решениями типа (3.1), (3.4), (3.7), (3.8), которые учитывают качественные факторы, обусловленные реальными свойствами материала.

Авторы весьма признательны профессору А. Тер-Кюрегяну (США, ун-т Беркли), привлечшего их внимание к этой проблеме.

## ЛИТЕРАТУРА

1. Васильева А.Б., Бутузов В.Ф. Асимптотические разложения решений сингулярно возмущенных уравнений. — М.: Наука, 1973. 272с.
2. Вазов В. Асимптотические разложения решений обыкновенных дифференциальных уравнений. — М.: Мир, 1968. 464с.
3. Агаловян Л.А. О характере взаимодействия погранслоя с внутренним напряженно-деформированным состоянием полосы. — Изв. АН Армении, Механика, 1977, т.30, №5, с.48-62.
4. Гольденвейзер А.Л. Построение приближенной теории изгиба пластинки методом асимптотического интегрирования уравнений теории упругости. — ПММ, 1962, т.26, №4, с.668-686.
5. Хачатрян Ш.М. К определению напряженно-деформированного состояния анизотропной полосы. — Изв. АН Армении, Механика, 1976, т.29, №6, с.19-32.
6. Найфэ А. Введение в методы возмущений. — М.: Мир, 1984. 535с.
7. Фиалин А.П. Прикладная механика твердого деформируемого тела. — М.: Наука, 1975, т. I. 832 с.
8. Тимошенко С.П. Сопrotивление материалов. — М.: Наука, 1965, т. I. 363с.
9. Rampuch R. Constitution and Properties of Ceramic Materials. — Materials Science Monographs, 58, Elsevier Science Pub. Co., Inc., New York, 1991.
10. Амбарцумян С.А. Теория анизотропных оболочек. — М.: Физматгиз, 1961. 384с.
11. Лехницкий С.Г. Теория упругости анизотропного тела. — М.: Наука, 1977. 415с.

Институт механики НАН Армении

Поступила в редакцию  
14.11.1996